



مقاله پژوهشی

کلون کردن اپی توب های خطی تحریک کننده ی لنفوسیت T آنتی ژن EG95/اکینوکوکوس گرانولوزوس در وکتور pGEX4t1 و بررسی بیان آن با روش SDS-PAGE

رقیه مصری^۱، مجید اسمعیلیزاد^{۲*}، مژگان احمدزاده^۱، سمیه محمدی^۱، سید عبدالحمید انگجی^۱، زهرا یزدانپور^۲، سیده فهیمه میرحقوقی جلالی^۲

۱- گروه آموزشی سلوی و مولکولی، دانشکده علوم زیستی، دانشگاه خوارزمی، تهران، ایران

۲- بخش آزمایشگاه مرکزی، مؤسسه تحقیقاتی واکسن و سرم‌سازی رازی، کرج، ایران

تاریخ پذیرش مقاله: ۱۳۹۴/۰۳/۲۵

تاریخ دریافت مقاله: ۱۳۹۴/۱۱/۲۰

چکیده

زمینه و هدف: انگل/اکینوکوکوس گرانولوزوس عامل بیماری مشترک بین انسان و دام به نام کیست هیداتیک یا هیداتیدوزیس است؛ موفق ترین واکسن نوترکیب علیه این بیماری از کلون کردن ژن کد کننده آنتی ژن ۲۵ کیلو دالتونی آن یعنی EG95 در وکتور pGEX می‌باشد که اینمی سلوی و همoral قابل توجهی را در گوسفندان ایجاد کرده است اما با توجه به نقش اینمی سلوی TH1 در غلبه بر این بیماری و نقش اپی توب های خطی در تحریک این نوع سیستم اینمی جهت بهینه سازی شرایط واکسن موجود در مطالعه حاضر تنها توالی کد کننده اپی توب های خطی تحریک کننده لنفوسیت T این آنتی ژن کلون و بیان شد.

مواد و روش ها: با استفاده از نرم افزار IEDB توالی کد کننده اپی توب های خطی آنتی ژن EG95 پیش بینی و سنتز شد. تکثیر قطعه موردنظر با PCR انجام و بعد از هضم آنزیمی آن و وکتور pGEX4T1 با آنزیم *ahoI* در وکتور با روش شوک حرارتی کلون گردید. کلونی های مثبت با روش colony PCR با استفاده از پرایمرهای مختلف انتخاب شده و بیان پروتئین نوترکیب در سلول BL21 با ۱۰% SDS-PAGE موربدبرسی قرار گرفت.

نتایج: تکثیر توالی کد کننده اپی توب های EG95 با PCR انجام و قطعه موردنظر در وکتور pGEX4T1 کلون گردید. تأیید پلاسمید نوترکیب با colony PCR و اختلاف اندازه وکتور طبیعی و نوترکیب صورت گرفت. بیان پروتئین نوترکیب آنتی ژن نیز بد عوض با SDS-PAGE مشخص شد.

نتیجه گیری: قطعه EG95 به طور موفقیت آمیزی در وکتور pGEX4T1 کلون و در سلول BL21 بیان شد.

کلمات کلیدی: واکسن های اپی توبی، لنفوسیت T، آنتی ژن EG95، کیست هیداتیک

مقدمه

تولید محصولات دامی مانند کاهش شیر، پشم، چرم، کاهش کیفیت گوشت به همراه هزینه های تشخیص و درمان به این مناطق وارد می کند (۴)؛ در این بین کشور ایران نیز طبق اعلام سازمان بهداشت جهانی جز مناطق اندمیک محسوب می شود و استان های خراسان، آذربایجان غربی، آذربایجان شرقی، همدان و اردبیل از جمله استان های هایپر اندمیک به شمار می روند (۵). چرخه زندگی این انگل در دو میزبان اصلی و واسط سپری می شود که سگ و سگسانان به عنوان میزبان اصلی و نشخوار کنندگان به عنوان میزبان واسط و انسان به عنوان میزبان واسط اتفاقی برای این انگل می باشند که انگل در میزبان اصلی بیماری خاصی را ایجاد نمی کند اما در میزبان واسط سبب بروز

کیست هیداتیک یا هیداتیدوزیس یکی از بیماری های انگلی مشترک بین انسان و دام است که توسط لارو مهم ترین کرم نواری کوچک در پزشکی به طول ۲ الی ۷ میلی متر به نام اکینوکوکوس گرانولوزوس ایجاد می شود (۱، ۲). تاکنون تعداد مبتلایان به این بیماری در جهان سه میلیون نفر گزارش شده که بیشتر آن ها در مناطق معتدل جهان مثل کشورهای شرق اروپا و شرق آسیا مثل چین و استرالیا که دام پروری رایج است و یا خانواده ها اقدام به نگهداری سگ در منزل می نمایند زندگی می کنند (۳) و سالانه خسارات های اقتصادی زیادی را در زمینه

* نویسنده مسئول: مجید اسمعیلی زاد، بخش آزمایشگاه مرکزی، مؤسسه تحقیقاتی واکسن و سرم‌سازی رازی، کرج، ایران
Email:m.esmaelizad@rvsri.ac.ir



مواد و روش‌ها

سنتز و تکثیر

ابتدا توالی کد کننده اپی‌توب‌های خطی آنتی‌ژن EG95 به صورت متصل به توالی کد کننده چند پیتید دیگر انگل اکینوکوکوس گرانولوزوس توسط نرم‌افزار ایمنوافورماتیکی IEDB پیش‌بینی شده و توسط شرکت آلمانی سنتز و پس از آن پرایمرهای مناسب دارای جایگاه برش آنزیم محدود کننده *XhoI* برای قسمتی از قطعه سنتیک کد کننده اپی‌توب‌های خطی آنتی‌ژن EG95 با استفاده از نرم‌افزار بیوانفورماتیکی (Oligo 5) طراحی و توسط شرکت کانادایی (canada) سنتز شد.

واکنش PCR

واکنش PCR در حجم نهایی ۴۰ میکرولیتر که حاوی ۱۰ پیکومول از هریک از پرایمرهای رفت با توالی ۵'-TGCTCGAGGAATTCAATGGAAGCAGCAGC-۳' توالی برگشت با ۳'-CTCGAGGCTAACACAAAGCCGCAATC-۵'

یک میلی مولار مخلوط dNTPs (شرکت فرمنتاز)، یک واحد آنزیم Taq پلی‌مراز، ۴ میکرولیتر بافر ۱۰x PCR و ۱/۵ میلی-مولار Mg (شرکت سیناژن) و آب دو بار تقطیر تحت شرایط: دمای واسرشته (denaturation) اولیه ۹۴ درجه سانتی‌گراد به مدت ۳ دقیقه، ۳۵ چرخه شامل واسرشته شدن در دمای ۹۴ درجه سانتی‌گراد به مدت ۱ دقیقه، اتصال (Annealing) آغازگر در دمای ۵۵ درجه سانتی‌گراد به مدت ۱۵ ثانیه و طویل شدن (Extension) در دمای ۷۲ درجه سانتی‌گراد به مدت ۱۵ ثانیه و پلیمریزاسیون نهایی در دمای ۷۲ درجه سانتی‌گراد به مدت ۷ دقیقه در دستگاه PCR (شرکت eppendorf) انجام‌شده و تائید آن با الکتروفورز شدن ۵ میکرولیتر از محصول PCR در ژل آگاراز ۲ درصد به مدت ۲ ساعت با ولتاژ ۶۵ صورت گرفت.

کلونینگ

۱۰ میکرولیتر از محصول PCR در یک واکنش ۳۰ میکرولیتری با سه میکرولیتر بافر X₁₀, ۱ میکرولیتر آنزیم *XhoI* واحد شرکت فرمنتاز) و ۱۶ میکرولیتر آب دو بار تقطیر جهت هضم آنزیمی مخلوط شده و پس از انکوبه شدن در دمای ۳۷ درجه سانتی‌گراد به مدت ۲ ساعت، به منظور غیرفعال شدن آنزیم به مدت ۲۰ دقیقه در دستگاه ترموبلاک با دمای ۶۵ درجه سانتی‌گراد قرار گرفت. هضم آنزیمی و کتور

مشکلاتی مثل تشکیل کیست در اندام‌های خاص مانند کبد و گاهی ریه، قلب، کلیه و مغز می‌شود (۱، ۶). این بیماری با جراحی و استفاده از داروهای شیمیایی مثل آلبندازول، مبندازول و پرازی کواتنل تا حدودی قابل درمان است که معمولاً هزینه‌های بالایی را به همراه داشته و از طرفی در مواردی مثل وجود کیست در اندام‌های حساسی مانند قلب و یا بارداری امکان جراحی و شیمی‌درمانی بسیار کم است که اهمیت پایه‌گذاری برنامه‌های کنترل، پیش‌گیری و تهیه واکسن مناسب برای مقابله با این عفونت انگلی و بسیاری از عفونت‌های انگلی دیگر که از بین ۶ بیماری مهم جهان ۵ مورد را به خود اختصاص داده‌اند مطرح می‌شود (۶-۷); نقطه آغاز مطالعه‌های انجام‌شده در رابطه با این عفونت از سال ۱۹۹۶ با واکسن نوترکیب بر پایه یکی از آنتی‌ژن‌های مرحله انکوسفری انگل با عنوان EG95 بود که در واکسیناسیون گوسفندان در نیوزلند نتایج بسیار چشم‌گیری را نشان داد و در سال‌های بعد تحقیقات انجام‌شده در آرژانتین، ایتالیا، استرالیا و چین نیز حفاظت بالای ایجادشده توسط این واکسن علیه سروتیپ G1 را تأیید کردند (۸، ۹) اما مطالعه بیماران تحت جراحی قرارگرفته به منظور بررسی تشکیل مجدد کیست نه تنها در کبد بلکه در قسمت‌های دیگر بدن نشان از تأثیر مثبت پاسخ ایمنی سلولی Th1 جهت غلبه بر این بیماری در افراد مقاوم بوده که واکسن حاضر علاوه بر تحریک این نوع سیستم ایمنی، پاسخ ایمنی همورال را نیز تحریک می‌کند که ایمنی همورال با تولید ایمنوگلوبولین‌ها از طریق سمتی سلولی تعديل شده وابسته به آنتی‌بادی که یک مکانیسم وابسته به Th2 است عمل کرده و اینترلوکین ۴ ترشح شده از Th2 مانع تمایز سلول‌های Th0 به Th1 می‌شود (۱۰، ۱۱)، لذا در پروژه‌ی حاضر با توجه به این مسئله و با در نظر گرفتن این نکته که مطالعه‌های انجام‌شده در رابطه با این آنتی‌ژن نشان‌دهنده‌ی سه ناحیه غالب متصل شونده به آنتی‌بادی روی پروتئین نوترکیب EG95 بوده که ایمنی‌زایی آن بیشتر ناشی از این اپی‌توب‌های خطی می‌باشد (۱۲) به منظور بهینه‌سازی طراحی و تعديل شرایط مطلوب واکسن موجود توالی کد کننده این اپی‌توب‌های خطی (تحریک‌کننده لنفوسیت‌های T) آنتی‌ژن در وکتور بیانی pGEX4T1 کلون شده و بیان آن با روش SDS-PAGE بررسی گردید که پروتئین نوترکیب بیان بسیار مطلوبی را در سلول BL21 نشان داد.

بنوای یابی توسط شرکت کرهای ماکروژن انجام گردید.
بیان پروتئین نوترکیب

به منظور بیان پرتوئین نوترکیب ابتدا ۵۰ نانوگرم از وکتور نوترکیب و وکتور طبیعی به روش شوک حرارتی هر کدام جداگانه به ۱۰۰ میکرولیتر سلول مستعد BL21 که با روش آماده شده انتقال داده و پس از رشد در محیط LB آگار حاوی ۱۰۰ میکروگرم بر میلی لیتر آمپی سیلین، یک کلونی تک از هر کدام انتخاب و کشت اولیه آن در ۵ میلی لیتر محیط ۲YT در حاوی آمپی سیلین ($100\text{ }\mu\text{g/ml}$) به مدت یک شبانه روز در انکوباتور شیکردار با دور ۱۵۰ rpm و دمای ۳۷ درجه سانتی گراد قرار داده و بعد به ۵۰ میلی لیتر محیط ۲YT حاوی آمپی سیلین منتقل و پس از کشت در دمای ۲۵ درجه سانتی گراد در انکوباتور شیکردار زمانی که OD600 آن به 0.9 رسید به هر دو نمونه IPTG (غلظت نهایی 0.04 mM) اضافه شده و در زمان های $0, 1, 2, 3, 4$ و یک over night از کشت ها نمونه برداری انجام و پس از رسوب گیری با میکروسانتریفیوژ، رسوب نمونه ها در ۵۰ میکرولیتر بافر PBS ۱٪ و ۸۰ میکرولیتر sampel بافر $0.05\text{ M pH}=6.8$ $0.3\text{ SDS}/\text{tris}\%$ 10% گلیسرول، 0.05 M SDS بروموفنول آبی) و $7/5$ میکرولیتر بتا-مرکاپوتاوانول حل شده و پس از ۱۰ دقیقه قرار گرفتن در بن ماری با دمای 100 درجه سانتی گراد و سپس میکروسانتریفیوژ با دور 13000 rpm به مدت 5 دقیقه، در ژل SDS-PAGE ۱۰% با ولتاژ 100 به مدت 6 ساعت الکترافوژی شد.

pGEX4T1 تخلیص شده با روش جدید سمبروک همراه با استفاده از CaCl_2 و PEG6000 جهت حذف RNAهای با وزن-های مولکولی متفاوت است (۱۵، ۱۶) نیز طبق شرایط هضم PCR انجام و جهت تائید در ژل آگارز ۱ درصد محصول PCR کتروفورز شد (ولتاژ ۸۰)، پس از تائید هضم کامل وکتور ۱۵ میکرولیتر از آن با ۱۰ میکرولیتر محصول PCR در یک واکنش ۳۰ میکرولیتری با ۱ میکرولیتر آنزیم T4 DNA Ligase (۱۷) واحد شرکت فرمنتاز جهت اتصال مخلوط شده و به مدت ۱۶ ساعت در دمای ۱۶ درجه سانتی گراد انکوبه شد، درنهایت ۱۰ میکرولیتر از محصول اتصال (لیگاسیون) با روش شوک حرارتی (دمای ۴۴ درجه سانتی گراد به مدت ۹۰ ثانیه) به سویه HB101 سلول‌های E.coli منتقل و در محیط LB آگار حاوی آمپیسیلین با غلظت ۵۰ میکروگرم بر میلی لیتر در انکوباتور با دمای ۳۷ درجه سانتی گراد به مدت ۲۴ ساعت کشت داده شد.

انتخاب کلونی مثبت و توالی یابی

جهت انتخاب کلونی‌های مثبت ابتدا با پرایمرهای رفت‌وبرگشت قطعه موردنظر و سپس پرایمیر رفت قطعه موردنظر و برگشت T7 بر روی کلنی‌های رشد کرده به روش مستقیم PCR انجام شد و پس از تائید اولیه کلنی مثبت، از کلونی موردنظر کشت مایع تهیه شده و پس از تخلیص وکتور نوترکیب با روش جدید سمیروک و تکرار واکنش PCR روی وکتور نوت کبت تخلص شده، در بایان تائید نهایی، کلونینگ با



شکل ۱- توالی DNA و پروتئینی کد کننده اپی توپ‌های خطی پیش‌بینی شده آنتی زن EG95 اکینوکوکوس گرانولومزوس

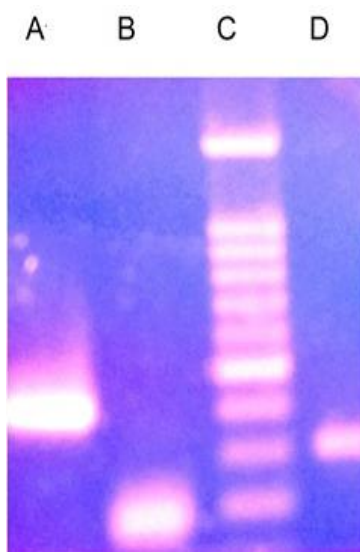


تأیید کلونینگ و ساخت وکتور نوترکیب- pGEX4T1- ChEg95

محصول PCR در ناقل بیانی pGEX4T1 کلون شده و پس از تأیید اولیه با روش کلونی PCR، پلاسمید نوترکیب با روش PEG6000 و CaCl_2 و جدید لیز قلیایی که همراه با استفاده از است تخلیص و به منظور تأیید مجدد به همراه وکتور طبیعی در ژل آگارز ۱ درصد همراه با سایز مارکر ران شد که اختلاف اندازه بین سوپرکویل آن و وکتور طبیعی نشانگر تأیید صحت کلونینگ بوده که در شکل ۳ نشان داده شده است و همان طور که در باند C مشخص است وکتور نوترکیب کمی سنگین تر از وکتور طبیعی است.

تأیید جهت قطعه ورودی

PCR انجام شده با وکتور نوترکیب تخلیص شده همراه با پرایمر رفت EG95 و برگشت T7 و PCR انجام شده روی وکتور طبیعی همراه با پرایمر رفت و برگشت T7 به خوبی نشانگر تأیید صحت قطعه ورودی بوده و همان طور که در شکل ۳ مشخص است PCR با پرایمرهای عمومی T7 قطعه‌ای به طول ۱۰۰ جفت باز و PCR با پرایمر رفت EG95 و برگشت T7 قطعه‌ای به طول ۴۰۰ جفت باز را نشان می‌دهند که اختلاف اندازه محصولات گواه دیگری بر صحت جهت قطعه ورودی است.



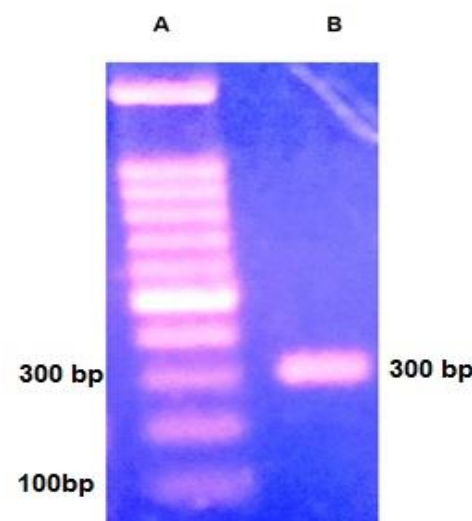
شکل ۴: محصول PCR در وکتور نوترکیب

A: محصول PCR با پرایمر برگشت T7 و پرایمر رفت EG95 با سایز ۴۰۰ bp، B: محصول PCR با پرایمر رفت و برگشت T7 با سایز ۲۰۰ bp (در وکتور طبیعی)، C: سایز مارکر ۱۰۰ bp شرکت سینا زن D: محصول PCR با پرایمر رفت و برگشت EG95

نتایج

PCR

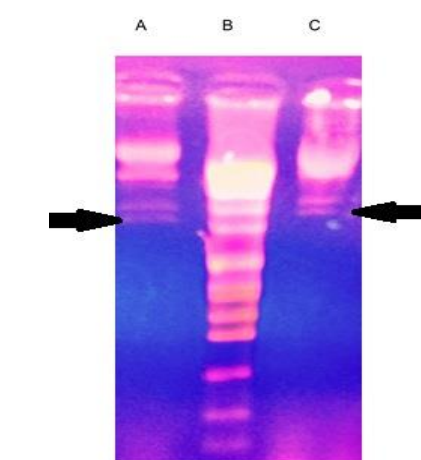
توالی DNA ویژه کد کننده‌ی اپی‌توب‌های خطی آنتی‌زن EG95 انگل اکینوکوکوس گرانولوزوس همراه با توالی پرایمرها و جایگاه برش آنزیم *Xba*I و توالی پروتئینی آن در شکل ۱ و تکثیر کامل و اختصاصی این توالی از روی توالی سنتتیک که با روش PCR انجام شده در شکل ۲ با وزن مولکولی ۳۰۰ جفت باز نشان داده شده است.



شکل ۲- محصول PCR در ژل آگارز ۲ درصد

A: سایز مارکر DNA 100bp (شرکت سیناژن)

B: محصول PCR با سایز ۳۰۰ bp



شکل ۳- مقایسه سوپرکویل وکتور نوترکیب و طبیعی

A: وکتور طبیعی- pGEX4T1- (بدون قطعه ورودی)

B: سایز مارکر 500bp DNA (شماره ۷ شرکت فرمانتاز)

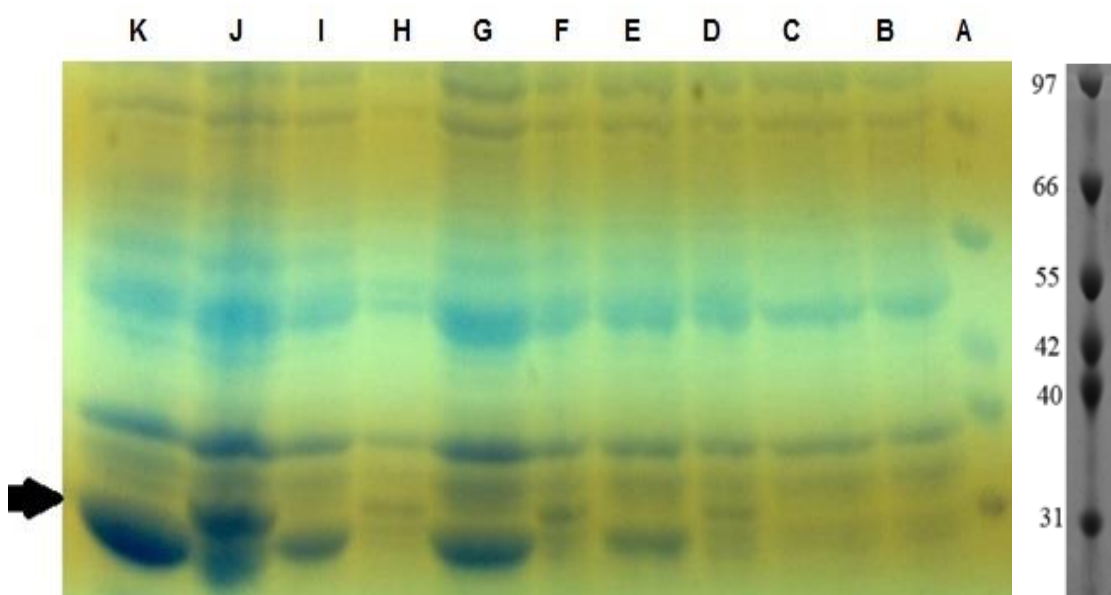
C: وکتور- pGEX4T1- نوترکیب



روش یعنی واکسن معطوف داشته که Heath و همکاران در سال ۱۹۹۶ با انجام مطالعاتی در رابطه با پپتیدهای آنتی زنیک انکوسفر انگل، نشان دادند که آنتی زن های ۲۳، ۲۴، ۲۵، ۳۰ و ۴۰ کیلو دالتونی پاسخ حفاظتی خوبی ایجاد می کنند. سریع ترین پاسخ آنتی بادی در برابر آنتی زن های ۱۳ و ۲۵ کیلو دالتونی است و به دنبال آن مؤثر ترین واکسنی که امروزه نیز بسیار مطرح است توسط Lightowers و همکاران بر اساس آنتی زن ۲۵ کیلو دالتونی مرحله انکوسفری این انگل یعنی آنتی زن EG95 طراحی و ساخته شد (۱۰، ۱۷). تأثیر این واکسن در گوسفندان آلوده چندین کشور دیگر همراه با

بیان پروتئین نوترکیب

بیان پروتئین نوترکیب در سلول BL21 در صورتی که کلوبینگ صحیح انجام شده یعنی جهت قطعه ورودی و در نتیجه قالب خواندن آن صحیح باشد به صورت متصل به پروتئین GST انجام خواهد شد که نتایج حاصل از ژل SDS-PAGE به وضوح نشانگر تائید صحت کلوبینگ و بیان پروتئین نوترکیب موردنظر است که اختلاف اندازه بین پروتئین نوترکیب متصل به GST و خود پروتئین GST به تنها بیان در تمام زمان ها نشانگر صحت سنتز پروتئین نوترکیب و حداکثر غلظت آن در زمان Over night است.



شکل ۵: محصولات بیان پروتئین نوترکیب در SDS-PAGE. A: سایز مارکر Mid range پروتئین (شرکت Promega)، B: محصولات پروتئین حاصل از تخلیص کشت سلول BL21 حاوی وکتور pGEX4T1، C: محصولات پروتئین حاصل از تخلیص کشت سلول b121 حاوی وکتور نوترکیب در زمان، D, F و H محصولات پروتئینی کشت حاوی وکتور نوترکیب به ترتیب در زمان ۲، ۳ و ۴ (پس از اضافه کردن IPTG). باندهای E, G و I محصولات پروتئینی کشت حاوی وکتور طبیعی به ترتیب در زمان ۲، ۳ و ۴، J: محصولات پروتئینی حاصل از کشت سلول BL21 حاوی وکتور نوترکیب Over night، K: محصولات پروتئینی حاصل از کشت سلول BL21 حاوی وکتور طبیعی Over night.

مطالعات انجام شده توسط Chow و همکاران در رابطه با ژنوم انگل نشان داد ژن کد کننده آنتی زن EG95 مربوط به یک خانواده ژنی، دارای هفت ژن است که از نظر توالی و ساختار تا حدود زیادی بین اکثر سروتیپ های این انگل حفاظت شده و در نتیجه این احتمال وجود دارد که بتواند پاسخ ایمنی چشم گیری را علیه سروتیپ های متفاوت این انگل ایجاد نماید (۱۸، ۱۹)؛ لذا بیشتر مطالعات در رابطه با طراحی و ساخت واکسن علیه

بحث و نتیجه گیری

هیداتیدوزیس یکی از بیماری های انگلی مشترک بین انسان و دام است که موجب خسارات بهداشتی و اقتصادی فراوان در نواحی اندمیک می شود؛ لذا مقابله با آن امری مهم و ضروری است. تاکنون از روش های متنوعی در مقابله با این بیماری استفاده شده اما محدودیت های روش های درمانی موجود توجه دانشمندان و محققین را به مناسب ترین و مقررین به صرفه ترین



واکسن نوترکیب EG95 (۲۵، ۱۴)، Xumin MA در سال ۲۰۱۳ ترکیب نواحی اپی توپی سلول‌های B و T آنتی-ژن EG95 را پیشنهاد کرده و اسمعیلی‌زاد و همکاران نیز با ترکیب نواحی اپی توپی این آنتی-ژن همراه با چند آنتی-ژن دیگر انگل توانستند ایمنی مطلوبی را در حیوانات مدل آزمایشگاهی القا نمایند (۲۶، ۲۷). بنابراین با توجه به پیشینه مطالعات و آزمایش‌های صورت گرفته، برای بهینه‌سازی کارآمدترین و پرمصرف‌ترین واکسن علیه کیست هیداتیک در تحقیق حاضر فقط اپی توپ‌های خطی آنتی-ژن Eg95 با هدف تحریک پاسخ ایمنی Th1 در وکتور pGEX4T₁ کلون گردید و بیان مطلوب آن نیز با روش SDS-PAGE تأیید شد که در مراحل بعدی آزمایش پاسخ ایمنی القا شده با این سازه نوترکیب مورد بررسی و با پاسخ ایمنی حاصل از DNA واکسن طراحی و ساخته شده بر اساس همین آنتی-ژن توسط همین گروه در این آزمایشگاه بر حیوانات مدل آزمایشگاهی با هدف انتخاب مناسب‌ترین گرینه، مورد مقایسه قرار خواهد گرفت و در صورت امکان القا پاسخ ایمنی در نشخوارکنندگان نیز مورد بررسی قرار خواهد گرفت.

تشکر و قدردانی

مقاله حاضر بخشی از پژوهشی تحقیقاتی بخش آزمایشگاه مرکزی مؤسسه تحقیقاتی واکسن و سرم‌سازی رازی کرج است؛ بدین‌وسیله نویسنده از تمامی همکاران و کارکنان بخش به‌پاس همکاری، کمال تشکر و قدردانی را به عمل می‌آورد.

تعارض منافع

نویسنده‌گان مقاله هیچ گونه تعارض منافعی را اعلام ننموده‌اند.

کیست هیداتیک را غالباً بر پایه این آنتی-ژن و توسعه این واکسن نوترکیب سوق دادند. پیچیده بودن سیر تکاملی انگل‌ها، داشتن چندین فرم و استراتژی‌های زیرکانه به منظور فرار از سیستم ایمنی میزبان، انتخاب آنتی-ژن‌های مطلوب به عنوان کاندید برای طراحی و تهیه واکسن علیه این انگل و بسیاری از انگل‌های دیگر را با مشکلاتی همراه ساخته است. تحقیقات در مورد بسیاری از بیماری‌های انگلی مثل مalaria، shistosomiasis و leishmaniasis مبنی بر مؤثر بودن استفاده ترکیبی از آنتی-ژن‌های مختلف مراحل زندگی انگل، مطالعه محققین فعال در زمانه کیست هیداتیک را نیز به سمت طراحی واکسن بر اساس آنتی-ژن‌های مختلف انگل مثل EgA31 و EgTrp-EgA31. کیست هیداتیک را نیز به سمت طراحی واکسن بر اساس آنتی-ژن‌های Eg95-EgA31 (۲۰-۲۳)، اما با پیشرفت مطالعات در زمانه درمان بیماری‌های انگلی مشخص شد که غلبه بر این بیماری‌ها مستلزم تحریک پاسخ ایمنی Th1 است که با تولید سایتوکاین-های اینترفرون گاما (IFN- α) به عنوان تحریک‌کننده ماکروفازی و لنفوتوکسین α (TNF- α) و IL-2 عمل می‌کند (۱۲، ۲۴)؛ لذا ادامه مطالعات همراه با پیشرفت‌های حاصل در علوم ایمنی-شناسی، سلوی و مولکولی و بیوتکنولوژی و نیز شناسایی و درک کامل از پاسخ ایمنی ایجاد شده در پی واکسیناسیون مطالعه محققین جهت تهیه واکسن علیه بیماری‌های انگلی را به سمت طراحی و ساخت واکسن‌هایی بر اساس نواحی اپی-توبی تحریک‌کننده پاسخ Th1 معطوف ساخت که در رابطه با مalaria به عنوان کشنده‌ترین بیماری انگلی نتایج بسیار مطلوبی را نشان داده است؛ لذا با توجه به این مطالعات و مطالعات Woppard و همکاران مبنی بر ایمنی‌زایی اپی-توپ‌های خطی

References

- Moro P, Schantz PM. Echinococcosis. IJID. 2009; 13(2): p. 125-133.
- Siracusano A, Teggi A, Ortona E. Human cystic echinococcosis old problems and new perspectives. IPID. 2009; p 1-7.
- Grosso G, Marventano S, Mistretta A. Worldwide epidemiology of liver hydatidosis including the Mediterranean area. WJG. 2012; 18(13): p. 1425-37.
- Harandi MF, Budke CM, Rostami S. The monetary burden of cystic echinococcosis in Iran. PNTD. 2012; 6(11): p. 1915.
- Tavakoli H, Bayat M, Kousha A. Hydatidosis infection study in human and livestock populations during 2002-2007. AEAES. 2008;4(4): p. 473-7
- Lafci H. Unusual localizations of hydatid disease. AMA. 2003; 30(2): p. 61-64.



7. Falagas ME, Bliziotis IA. Albendazole for the treatment of human echinococcosis: a review of comparative clinical trials. *AJMS*. 2007; 334(3): p. 171-179.
8. Buttenschoen K, Buttenschoen DC. Echinococcus granulosus infection: the challenge of surgical treatment. *LAS*. 2003; 388(4): p. 218-230.
9. Rozanes I, Guven K, Acunas B, Emre A. Cystic echinococcal liver disease new insights into an old disease and an algorithm for therapy planning. *CAIR*. 2007; 30(6): p. 1112-1116.
10. Lightowlers M, Lawrence S, Gaucci C, Young J, Ralston M, Mass D, et al. Vaccination against hydatidosis using a defined recombinant antigen. *PI*. 1996; 18(9): p. 457-462.
11. Heath D, Jensen O, Lightowlers M. Progress in control of hydatidosis using vaccination a review of formulation and delivery of the vaccine and recommendations for practical use in control programmes. *AT*. 2003; 85(2): p. 133-143.
12. Zhang W, Wen H, Li J, Lin R, Donald P, Manus Mc. Immunology and immunodiagnosis of cystic echinococcosis: an update. *CADI*. 2012; p. 1-10.
13. Al-Qaoud KM, Abdel-Hafez SK. The induction of T helper type 1 response by cytokine gene transfection protects mice against secondary hydatidosis. *PR*. 2008; 102(6): p. 1151-1155.
14. Woppard D, Gauci C, Heath D, Lightowlers M. Epitope specificities and antibody responses to the EG95 hydatid vaccine. *PI*. 1998; 20(11): p. 535-540.
15. Sauer ML, Kollars B, Geraets R, Sutton F. Sequential CaCl_2 , polyethylene glycol precipitation for RNase-free plasmid DNA isolation. *AB*. 2008; 380(2): p. 310-314.
16. Mesri R, Esmaelizad M, Angaji SA, Tahmaseb M, Ahmadzadeh M, Mohammadi S. Prediction and cloning linear Tcell epitopes of P14-3-3 antigen into pEGFP-N1 as a DNA vaccine model to induce immuno response against hydatidosis and its expression in CHO cell line. *Armaghan danesh*. 2015. 20(8).666-676. [In persian]
17. Heath DD, Lawrence SB. Antigenic polypeptides of *Echinococcus granulosus* oncospheres and definition of protective molecules. *PI*. 1996;18(7): p. 347-357.
18. Chow C, Gauci CG, Cowman A, Lightowlers M. A gene family expressing a host-protective antigen of *Echinococcus granulosus*. *MABP*.2001; 118(1):p. 83-88.
19. Chow C, Gauci GC, Vural G, Jenkins DJ, Heath DD, Rosenzvit MC, et al. *Echinococcus granulosus* variability of the host-protective EG95 vaccine antigen in G6 and G7 genotypic variants. *Ep*. 2008; 119(4): p. 499-505.
20. Rogers WO, Baird JK, Kumar A, Tine J, Weiss W, Aguiar JC, et al. Multi stage Multi antigen Heterologous Prime Boost Vaccine for Plasmodium knowlesi Malaria Provides Partial Protection in Rhesus Macaques. *IAI*. 2001; 69(9): p. 5565-5572.
21. Zhang Y, Taylor MG, Johansen MV, Bickle QD. Vaccination of mice with a cocktail DNA vaccine induces a Th1-type immune response and partial protection against *Schistosoma japonicum* infection. *Vaccine*, 2001; 20(5): p. 724-730.
22. Fraize M, Sarciron ME, Azzouz S, Issaadi N, Bosquet G, Petavy AF. Immunogenicity of two *Echinococcus granulosus* antigens EgA31 and EgTrp in mice. *PR*. 2005; 96(2): p. 113-120.
23. Zhou BY, Chen YT, Wen-gui L, Yang M. Construction and identification of the recombinant fusion gene vaccine Bb-Eg95-EgA31 of *Echinococcus granulosus*. *CJOZ*. 2009; 6: p. 004.
24. Bayraktar MR, Mehmet N, Durmaz R. Th1 and Th2 inducing cytokines in Cystic echinococcosis. *TPDI*. 2005; 29(3): p. 167-170.
25. Schwartz L, Brown GV, Genton B, Moorthy VS. A review of malaria vaccine clinical projects based on the WHO rainbow table. *MJ*. 2012; 11(1): p. 1.
26. Ma X, Zhou X, Zhu Y, Li Y, Wang H, Mamuti W, et al. The prediction of T-and B-combined epitope and tertiary structure of the Eg95 antigen of *Echinococcus granulosus*. *ETM*. 2013; 6(3): p. 657-662.
27. Esmaelizad M, Ahmadian Gh, Aghaiypour Kh, Shamsara M, Paykari H, Tebianian M. Induction of protective T-helper 1 immune responses against *Echinococcus granulosus* in mice by a multi-T-cell epitope antigen based on five proteins. *MIOC*. 2013; 108(4): p. 408-413.
28. Mitsuhata H, Shimizu R, Yokoyama MM. Suppressive effects of volatile anesthetics on cytokine release in human peripheral blood mononuclear cells. *Int J Immunopharmacol*. 1995;17(6):529–534.
29. Helmy SA, Al-Ayah RJ. The immunomodulatory effects of prolonged intravenous infusion of propofol versus midazolam in critically ill surgical patients. *Anesthesia*. 2001;56(1):4-8.
30. Hu Y, Liang D, Li X, Liu HH, Zhang X, Zheng M, et al. The role of interleukin-1 in wound biology. Part I: Murine *in silico* and *in vitro* experimental analysis. *Anesth Analg*. 2010;111(6):1525-33.
31. González-Correa JA, Cruz-Andreotti E, Arrebola MM, López-Villodres JA, Jódar M, De La Cruz JP. Effects of propofol on the leukocyte nitric oxide pathway: *in vitro* and *ex vivo* studies in surgical patients. *Naunyn Schmiedebergs Arch Pharmacol*. 2008;376(5):331-339.
32. Chin GA, Diegelmann RF, Schultz GS. Cellular and molecular regulation of wound healing. *Basic Clinical Dermatol*.2005;33(3):17-39.



Original Article

Cloning of Linear T-cell Epitopes of EG95 Antigen of *Echinococcus Granulosus* into pGEX4t1 Vector and Expression Analysis by SDS-PAGE

Mesri R¹, Esmaeilizad M^{2*}, Ahmadzadeh M¹, Mohammadi S¹, Angaji SA¹, Yazdanpour Z², Mirhaghgo Jalali F²

1- Department of Cellular & Molecular, Faculty of Biological Sciences, Kharazmi University, Tehran, Iran

2- Central lab, Razi Vaccine and Serum Research Institute, Karaj, Iran

Received: 09 Feb 2015

Accepted: 14 Jun 2016

Abstract

Background & Objectives: *Echinococcus granulosus* causes a common disease between humans and animals that called hydatid cyst or hydatidosis. The recombinant EG95 vaccine based on cloning of the 25 KD oncospherical antigen-Eg95- in pGEX stimulated significant humoral and cellular immunity in sheep, but regarding the effect of TH1cell immunity against this parasite and the influence of the linear T-cell epitopes in stimulating this immunity, only the coding sequence of linear T Cell epitopes of EG95 was cloned in pGEX and analyzed its expression to optimize the qualification of this available vaccine in this study.

Materials & Methods: The coding sequence of EG95 linear epitopes by IEDB software were predicted and synthesized. After PCR, the amplicon and pGEX4T1 were digested by *xhol* restriction enzyme, the fragment was cloned into pGEX4T1 by heat shock method, and Positive colonies were selected by direct PCR with specific primers. The recombinant protein expression was evaluated in BL21 cells by 10% SDS-PAGE.

Results: The coding sequence of EG95 linear T-cell epitopes was amplified by PCR and cloned into pGEX4T1 vector. The recombinant plasmid was selected with Colony PCR and size difference between intact and recombinant purified vectors. Recombinant protein expression with high significant concentration was recognized by SDS-PAGE.

Conclusion: The EG95 linear T-cell epitopes coding sequence has been successfully cloned into pGEX4T1 vector and expressed into BL21 cells.

Keywords: EG95 antigen, Epitope vaccine, Hydatid cyst, T lymphocyte

*Corresponding author: Majid Esmaeilizad, Central lab, Razi Vaccine and Serum Research Institute, Karaj, Iran.
Email: m.esmaeilizad@rvsri.ac.ir,

Journal of Fasa University of Medical Sciences 6 (2016): 311-318